

Вінницький національний технічний університет  
Факультет інфокомунікацій, радіоелектроніки та наносистем  
Кафедра телекомунікаційних систем та телебачення

**Магістерська кваліфікаційна робота**

**на тему: «ОЦІНЮВАННЯ ПАРАМЕТРІВ СИНХРОНІЗАЦІЇ  
НИЗХІДНОГО ПОТОКУ  
В МОБІЛЬНИХ МЕРЕЖАХ LTE»**

Виконав: студент 2-го курсу, групи ТТК-17м

**Арсенюк Д.І.**

Керівник: к.т.н., доцент каф. ТКСТБ

**Воловик А.Ю.**

Вінниця ВНТУ - 2019 рік

**Мета роботи:** оцінювання параметрів синхронізації низхідного потоку в мобільних мережах LTE шляхом використання алгоритмів оцінки неузгодженості частоти гетеродинів і оцінки зсуву за часом сигналів синхронізації та дослідження математичних моделей і параметрів сигналу стандарту LTE.

**Об'єкт дослідження:** процеси перетворення інформаційних сигналів в мобільних мережах радіозв'язку стандарту LTE на базі технології ортогонального частотного поділу каналів.

**Предмет дослідження:** методи цифрової обробки сигналів частотної та символної синхронізації в OFDM системах радіозв'язку з заданими параметрами.

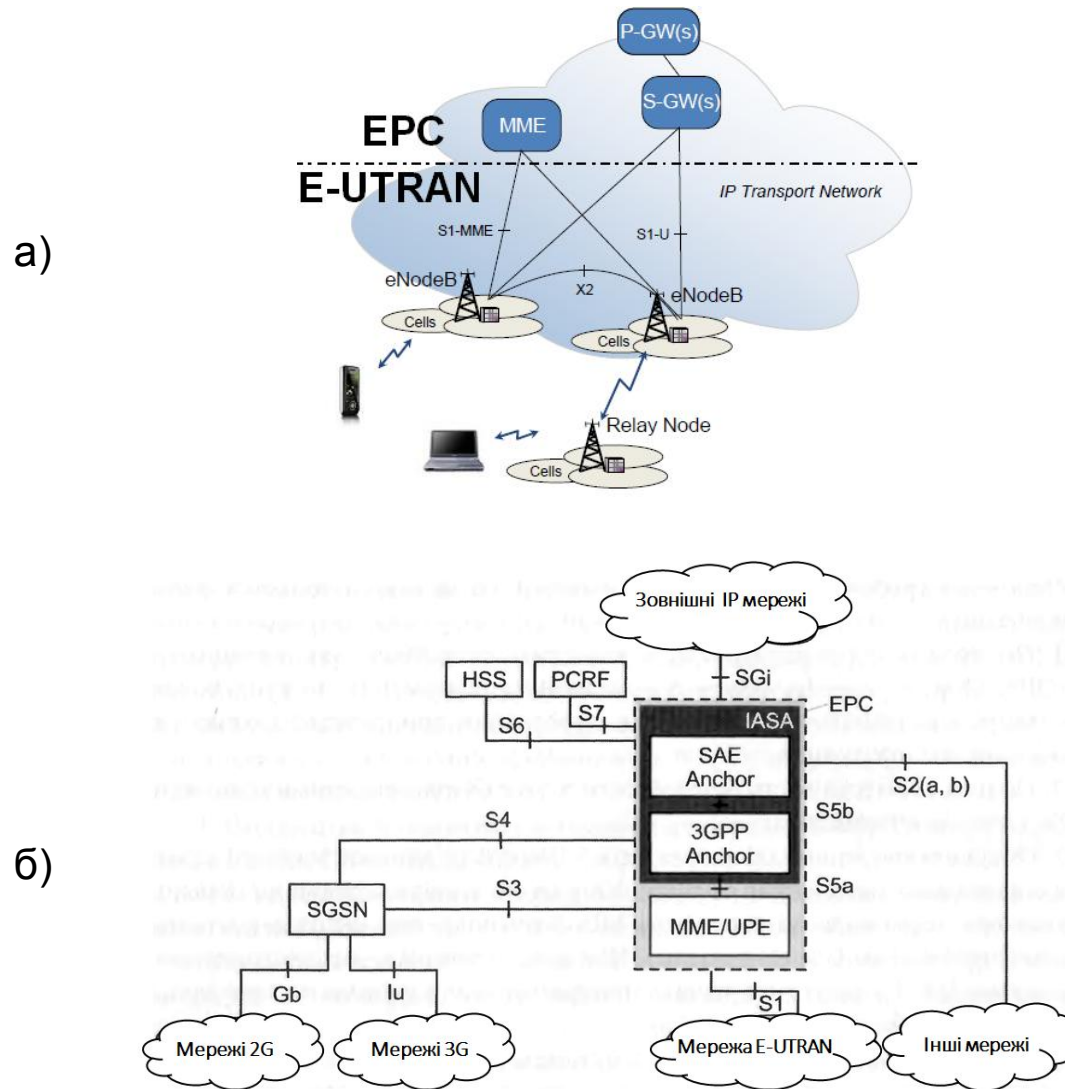


Рисунок 1. Взаємодія мережі радіодоступу E-UTRAN і базової мережі SAE (EPC) (а), еталонна структура базової мережі LTE (б).

$$s(t) = \sum_{l=-\infty}^{\infty} \sum_{k=-k_1}^{N+k_2} \sum_{n=0}^{N-1} \left\{ C_{nl} e^{j2\pi n \frac{k}{N}} \right\} w \left( t - \frac{k}{f_s} - lT \right) \quad (1)$$

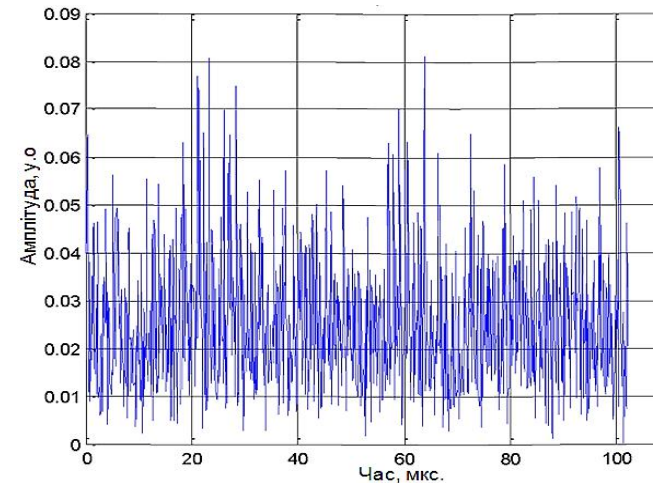
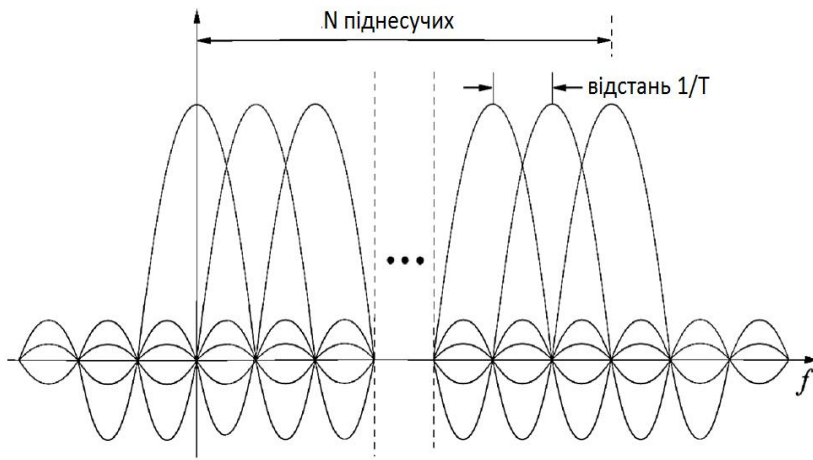
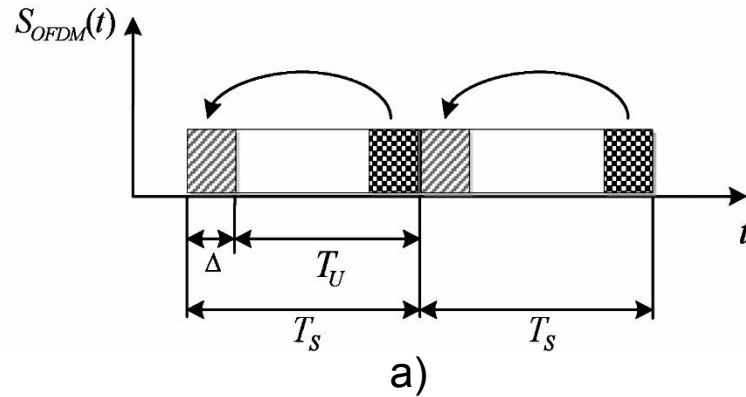
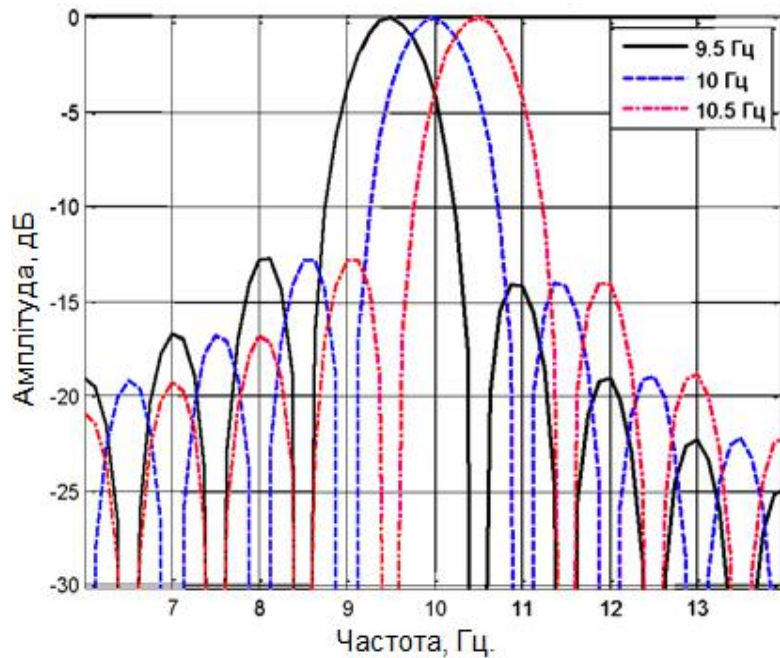
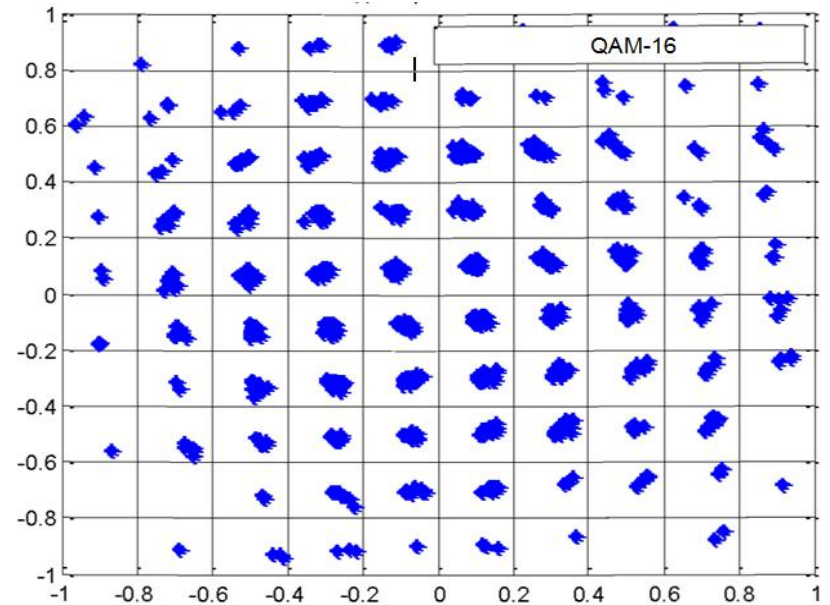


Рисунок 2 - Представлення OFDM сигналів: а) Принцип формування циклічного префіксу; б) Розташування піднесних OFDM сигналу; в) OFDM сигнал в області часу.

$$\dot{S}_d(e) = \sum_{k=-N/2}^{N/2-1} \left\{ \dot{C}_k e^{j2\pi \left( \frac{k\Delta f}{\xi_{scale}} + f_c + f_d \right) t} \right\}, \quad (2)$$



а)



б)

Рисунок 3 - Вплив Допплерівського розсіювання на характеристики OFDM сигналу: а) форма спектру прийнятого сигналу; б) викривлення модуляційного сузір'я QAM-16.

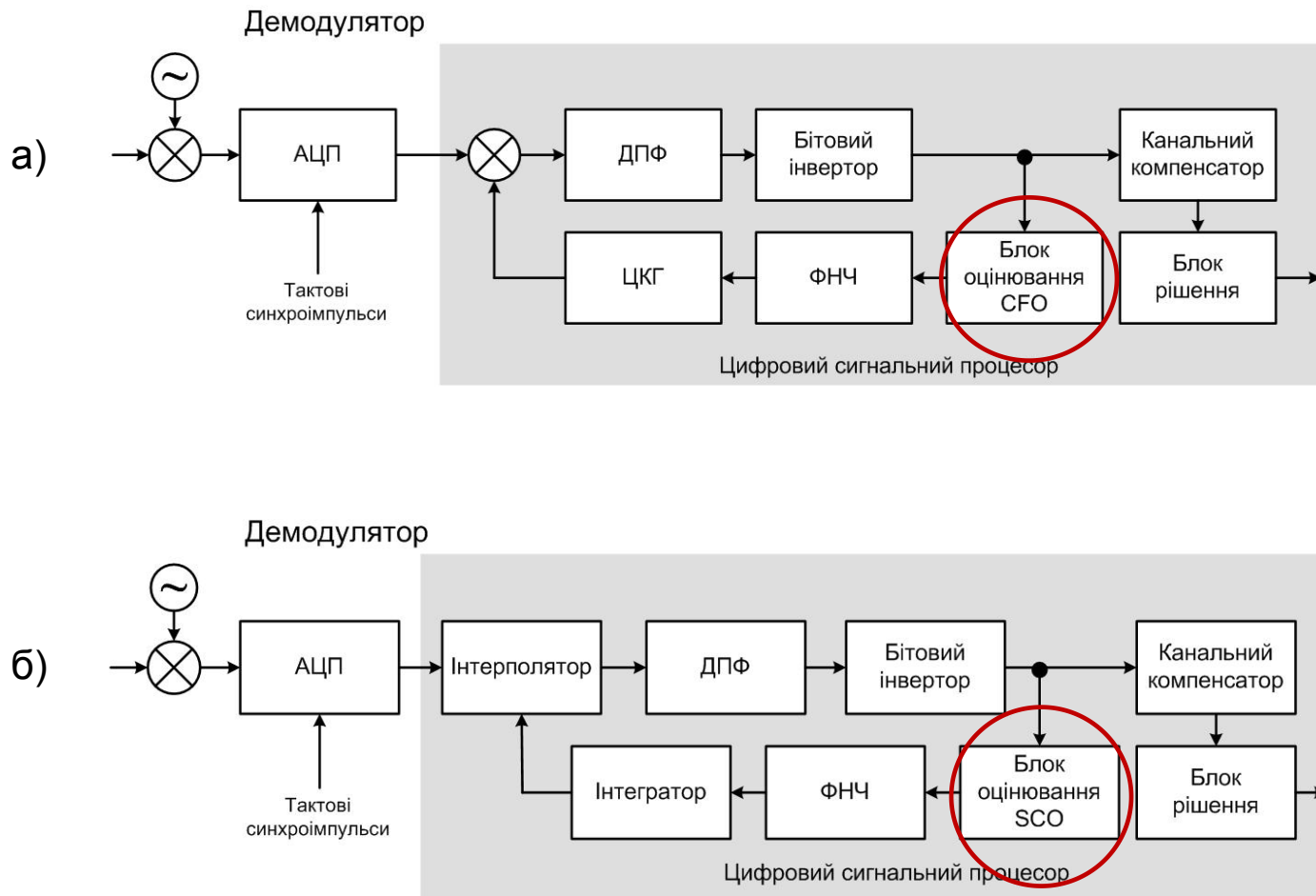


Рисунок 4. Архітектура OFDM демодулятора :

- а) з колом фазової синхронізації на основі часового коректора;
- б) з інтерполятором для компенсації зсуву тактового інтервалу.

## Алгоритм SCA (SCA - Schmidl and Cox Algorithm)

$$3) \quad M(d) = \frac{|P(d)|^2}{(R(d))^2},$$

$$P(d) = \sum_{m=0}^{L-1} r_{d+m} r_{d+m+L}, \quad R(d) = \sum_{m=0}^{L-1} |r_{d+m+L}|^2$$

## Алгоритм Minn

$$4) \quad \Lambda_{\varepsilon}(d) = \left( \frac{L \cdot |P(d)|^2}{L - 1 E(d)} \right)^2,$$

$$P(d) = \sum_{k=0}^{L-2} b(k) \cdot \sum_{m=0}^{M-1} r^*(d + kM + m) \cdot r(d + (k+1)M + m),$$

$$E(d) = \sum_{i=0}^{M-1} |r(d + kM + i)|^2, \quad b(k) = p(k)p(k+1), k = 0, 1, \dots, L-2$$

## Алгоритм Choi

$$5) \quad M_{Pr}(d) = \frac{|P(d)|^2}{(R_2(d))^2},$$

$$P_2(d) = \sum_{k=0}^{N/2-1} r(d-k) \cdot r(d+k+1), \quad R_2(d) = \sum_{k=0}^{N-1} |r(d+k-N/2)|^2;$$

## Послідовний алгоритм

$$\dot{R}_{S1,S2}(n) = 3ШПФ(\dot{S}_{1w}(k) \cdot \dot{S}_{2w}(k)) \quad k = 0, \dots, N,$$

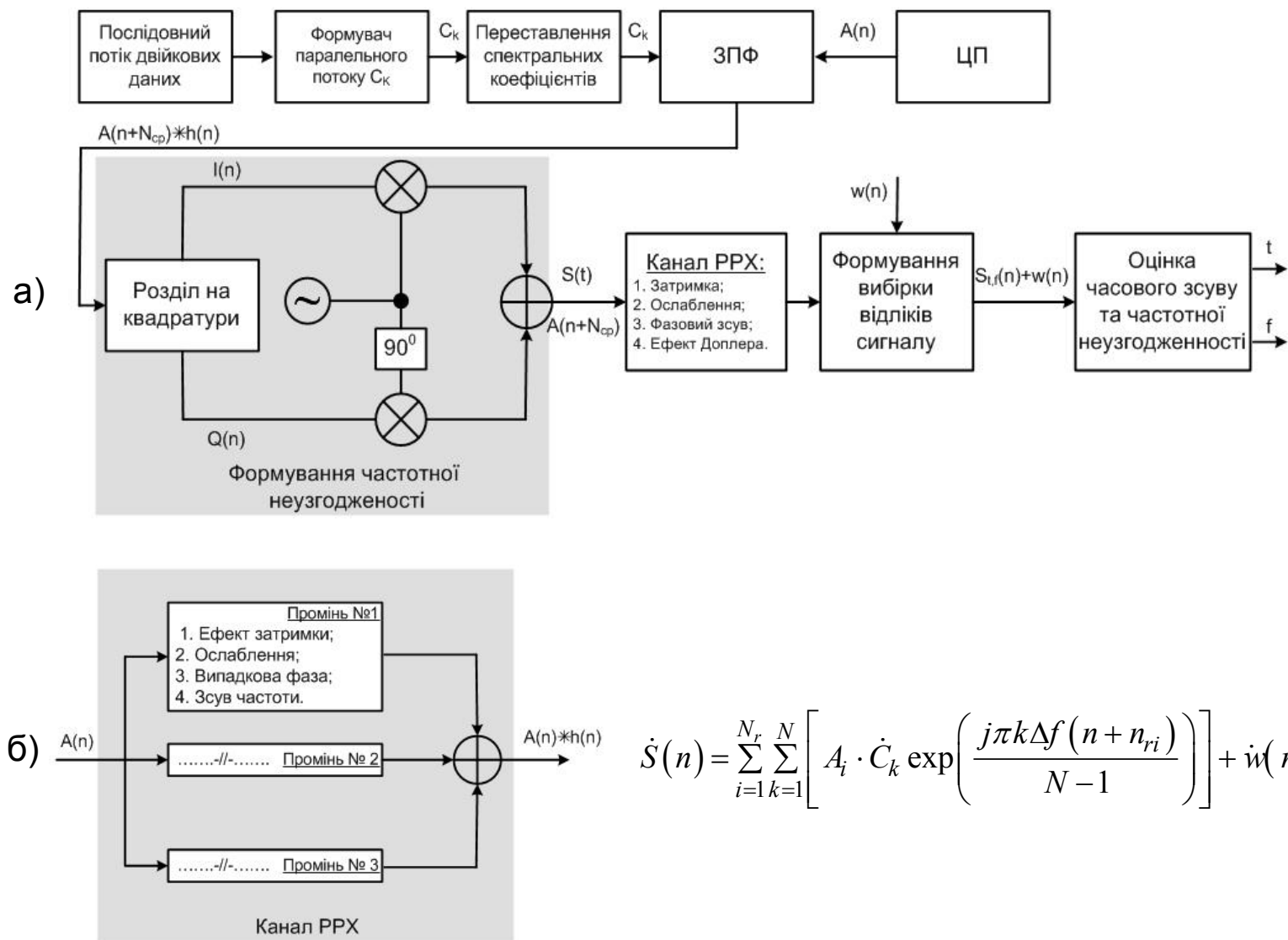
6)

$$\tilde{\tau}_1 = \frac{\max(P(m)) - \frac{M}{2}}{M} \quad m = 0, \dots, M - 1,$$

## Алгоритм Wei Xu

$$7) \quad R_r(\varepsilon, r) = \frac{1}{N - N/r} \sum_{m=0}^{N-1-N/r} y(n + N/r) y^*(n) = \sum_{m=0}^{L-1} |h(m)|^2 \exp\left(\frac{j\pi\varepsilon}{r}\right),$$

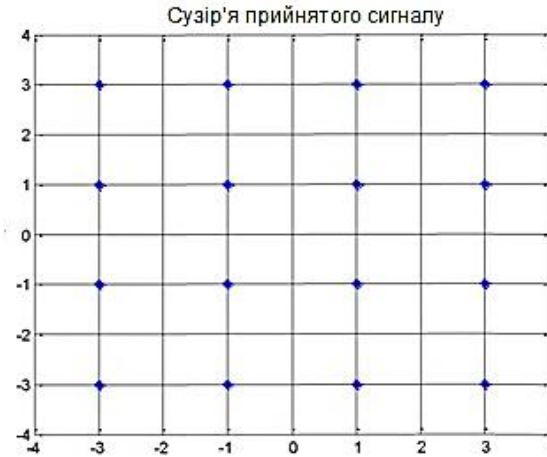
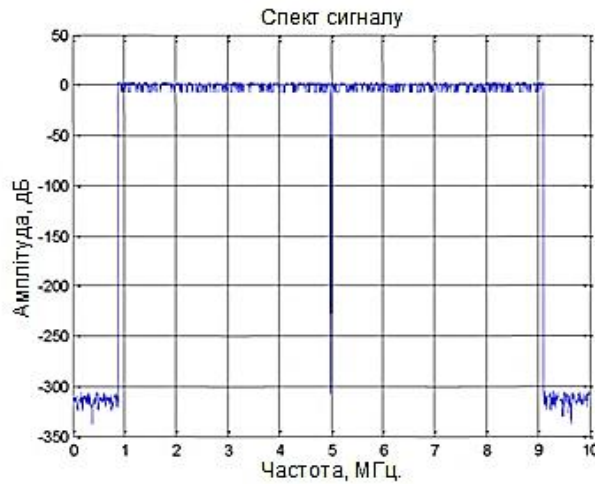




$$\dot{S}(n) = \sum_{i=1}^{N_r} \sum_{k=1}^N \left[ A_i \cdot \dot{C}_k \exp\left(\frac{j\pi k \Delta f (n + n_{ri})}{N-1}\right) \right] + \dot{w}(n), \quad (8)$$

Рисунок 5. Структурна схема цифрової моделі (а); блок реалізації каналу РРХ (б)

(а)



(б)

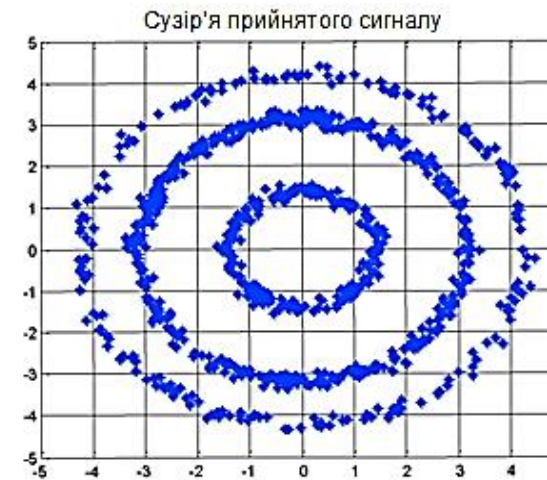
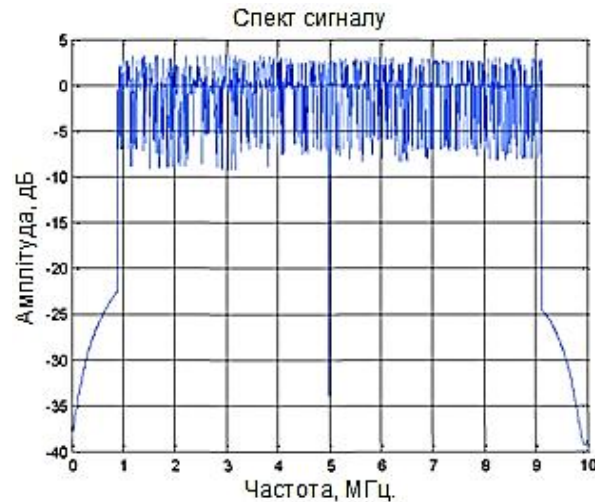
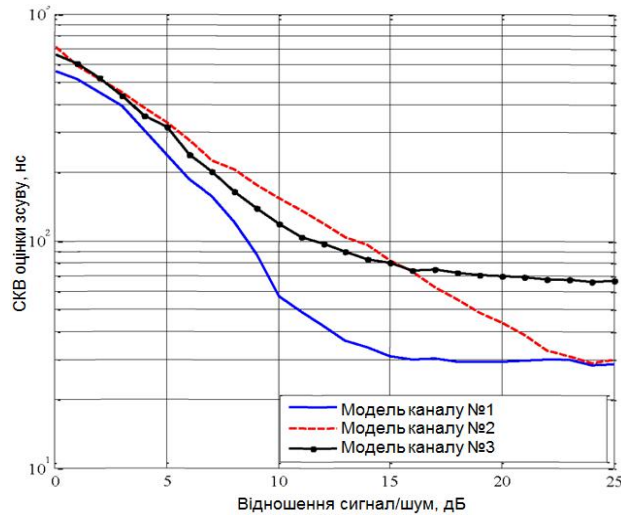
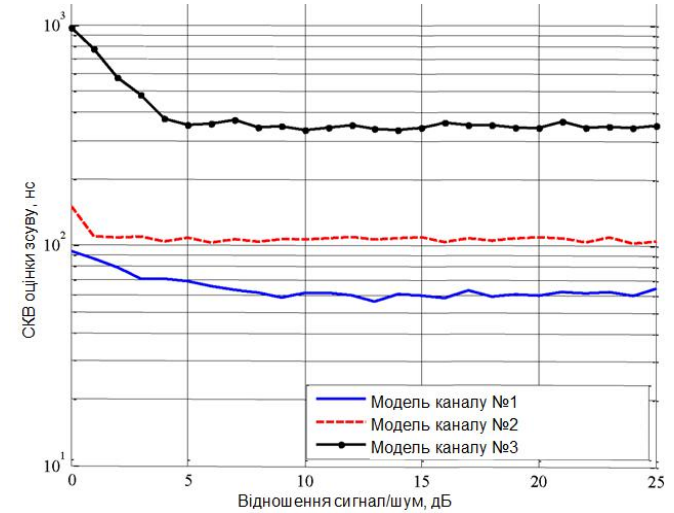


Рисунок 6. Вплив часового зсуву на спектр та сигнальне сузір'я OFDM сигналу:  
а) без зсуву по часу; б) зміщеного на п'ять відліків дискретизації.

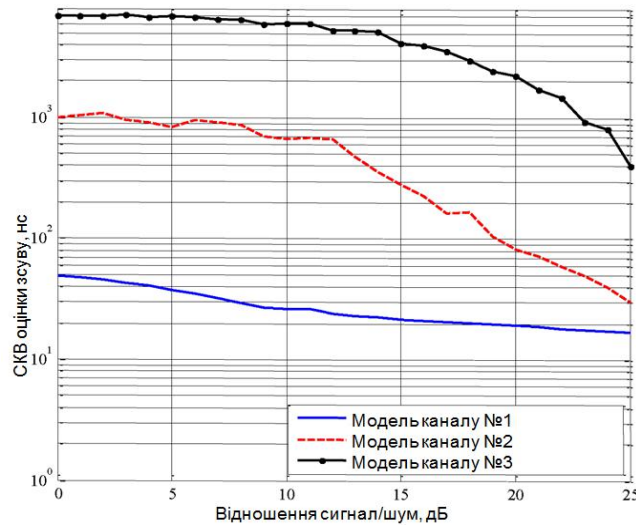
(а)



(в)



(б)



(г)

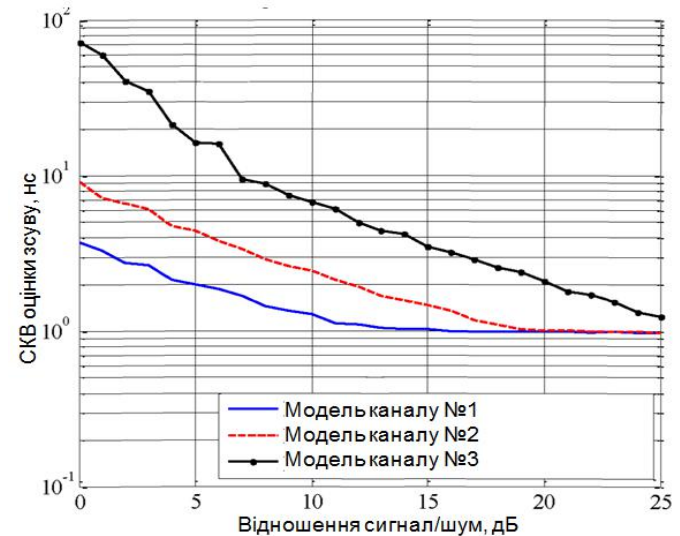


Рисунок 7. Зіставлення залежностей СКВ помилки оцінки зсуву за часом від ВСШ:  
 а) алгоритм SCA ; б) алгоритм Minn ;  
 в) алгоритм Choi; г) послідовний алгоритм.

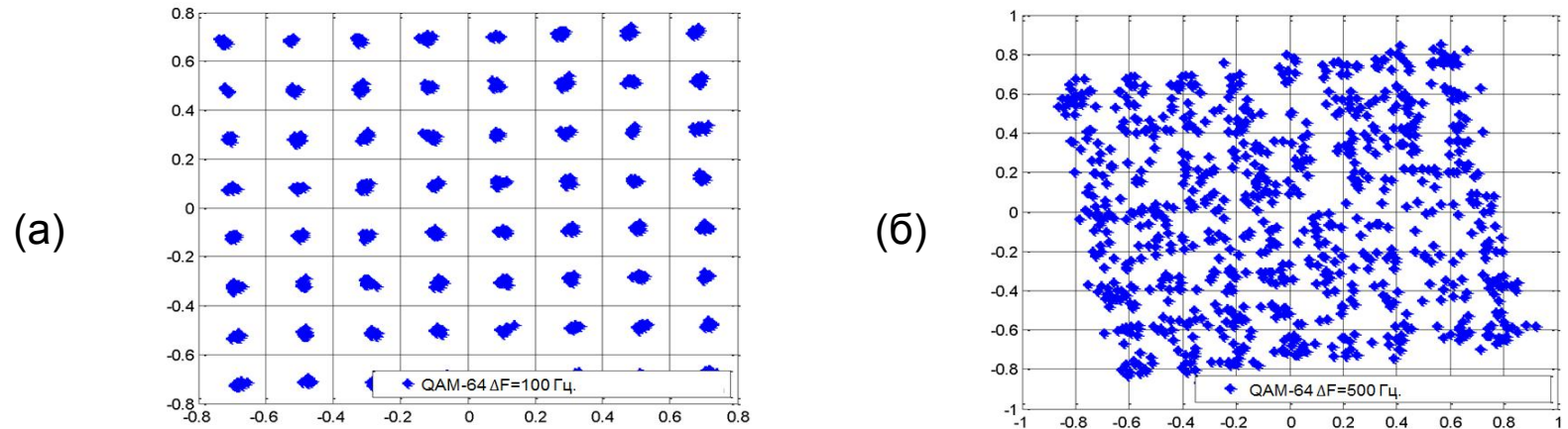


Рисунок 8. Вплив частотної неузгодженості на сигнальне сузір'я OFDM сигналу:

а)  $\Delta F = 100$  Гц ; б)  $\Delta F = 500$  Гц.

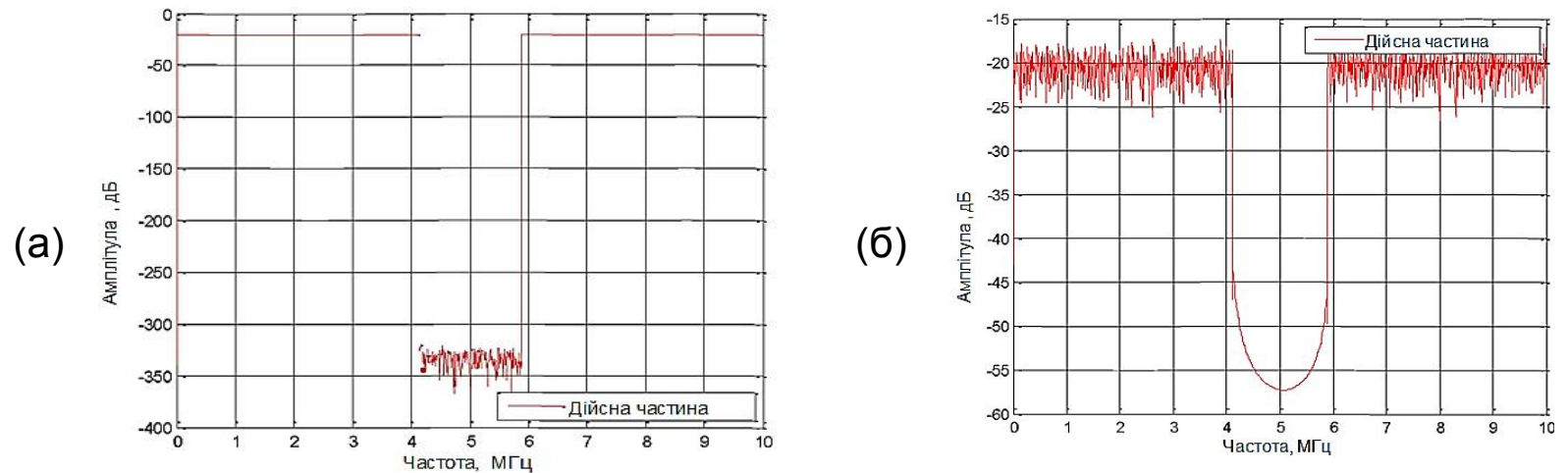


Рисунок 9. Вплив частотної неузгодженості на спектр OFDM сигналу:

а) ідеальний сигнал; б) при  $\Delta F = 1000$  Гц.

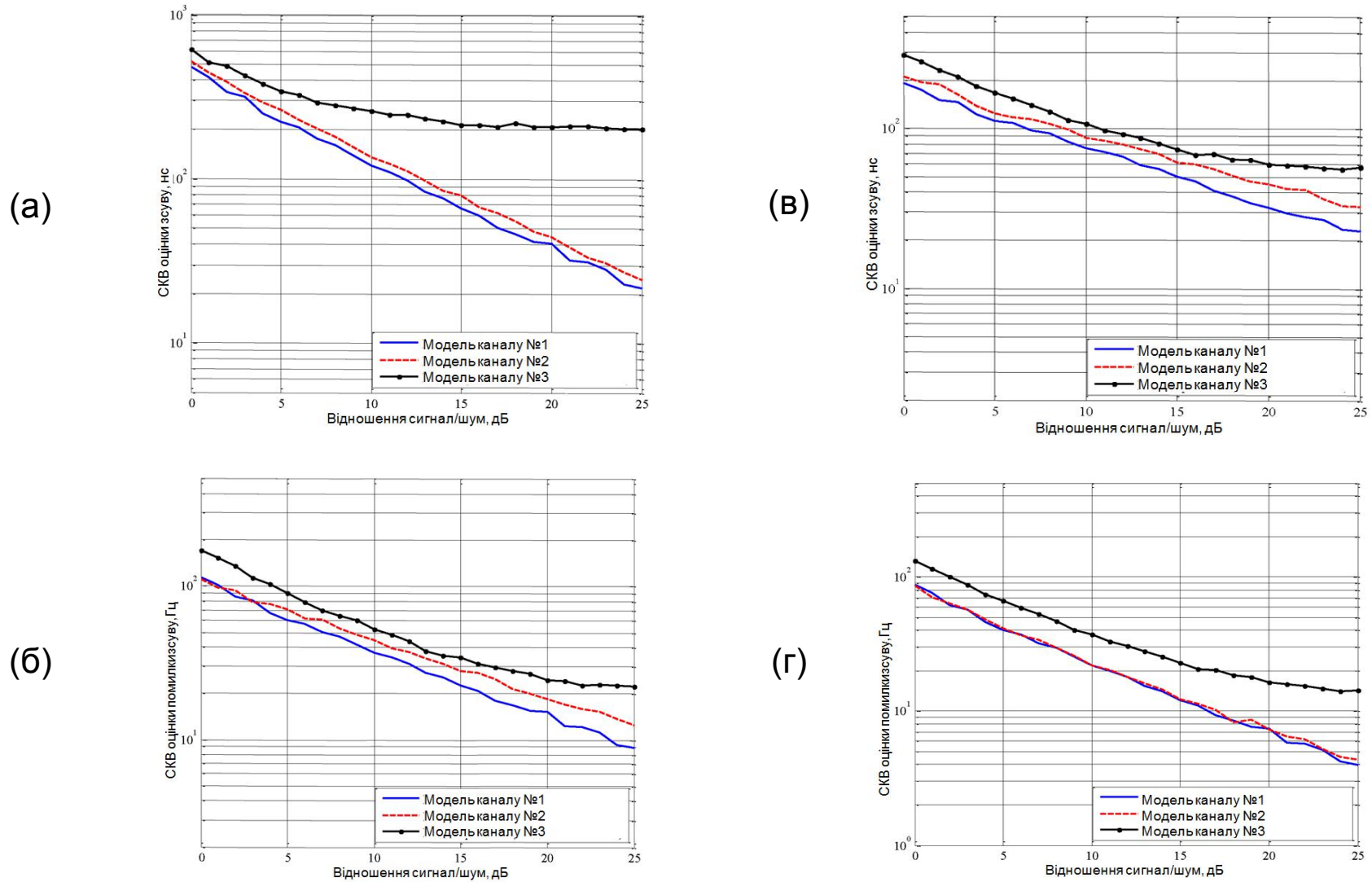


Рисунок 10. Зіставлення залежностей СКВ помилки оцінки зсуву за часом від ВСШ:  
 а) алгоритм SCA ; б) алгоритм Minn ;  
 в) алгоритм WeiXu ; г) послідовний алгоритм.

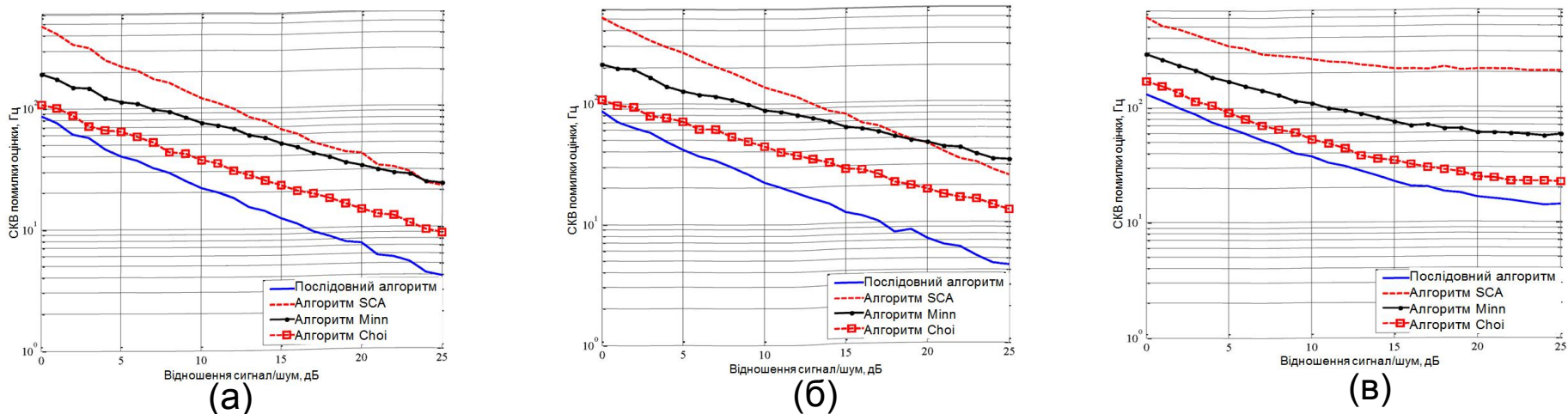


Рисунок 11. Зіставлені залежності СКВ помилки оцінки неузгодженості частоти від ВСШ для розглянутих алгоритмів: а) модель каналу PPX №1); б) модель каналу PPX №2; в) модель каналу PPX №3.

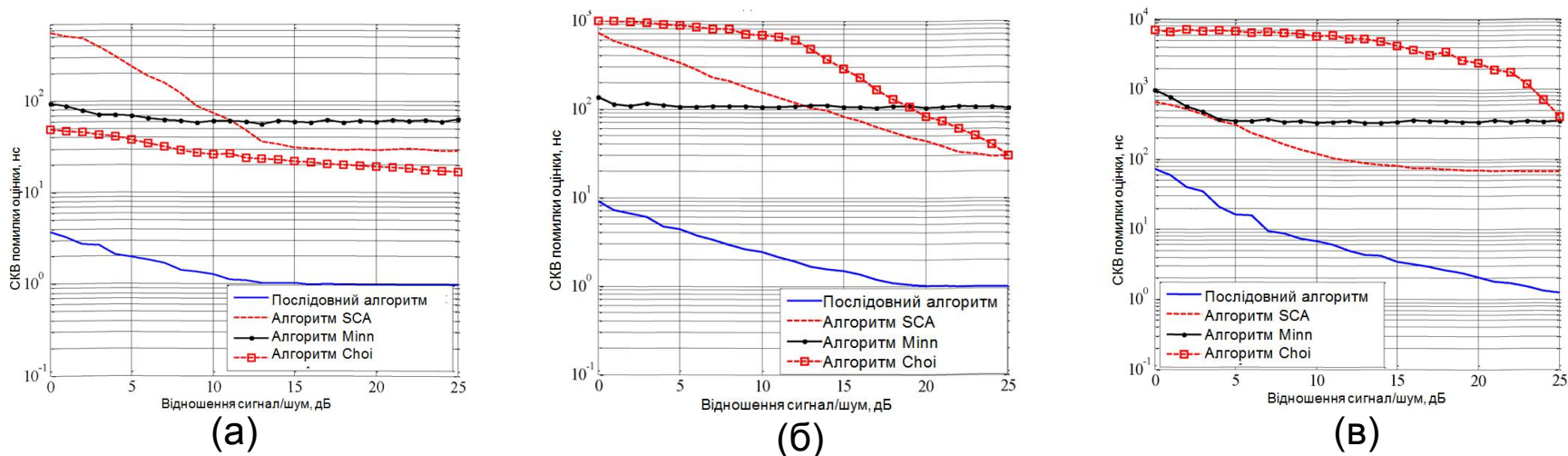


Рисунок 12. Зіставлені залежності СКВ помилки оцінки зсуву за часом від ВСШ для розглянутих алгоритмів: а) модель каналу PPX №1); б) модель каналу PPX №2; в) модель каналу PPX №3.

1. Досліджені основні алгоритми оцінки часового зсуву прийнятого сигналу низхідного потоку мобільної мережі LTE. Алгоритми, що використовують односигнальну конструкцію СС, не дозволяють отримати помилку оцінки менш тривалості відліку дискретизації в діапазоні ВСШ від 0 дБ до 10 дБ. Розглянутий послідовний алгоритм дозволяє зменшити СКВ помилки оцінки більш ніж у два рази;
2. При дослідженні алгоритмів оцінки частотної неузгодженості виявлено, що односигнальні алгоритми застосовують додаткову обробку отриманого значення оцінки для уточнення результату, а це у свою чергу ускладнює їхню реалізацію і приводить до додаткових затримок у системі. Послідовний алгоритм звільнений від цього і дозволяє зменшити СКВ помилки оцінки не менш, чим на 30% стосовно найбільш точних з розглянутих аналогічних алгоритмів;
3. Порівняльний аналіз значень СКВ помилок оцінки часового зсуву та неузгодженості частоти показує, що двохсигнальна конструкція СС дозволяє отримати прийнятне значення оцінок у діапазоні ВСШ від 0 дБ до 25 дБ, у випадку, якщо час когерентності такого каналу перевищує тривалість сигналу синхронізації;
4. Розроблена імітаційна модель фізичного рівня стандарту LTE у середовищі MATLAB/Simulink, наведені структурні схеми з описом призначення блоків і можливостей моделі;

**ДОПОВІДЬ ЗАВЕРШЕНО,**

**ДЯКУЮ ЗА УВАГУ**